

INTRODUÇÃO AO GEOPROCESSAMENTO

Laboratório 05 – ALGEBRA DE MAPAS

Giullian Nícola Lima dos Reis

São José dos Campos

201

PARTE 1. CARREGAR OS DADOS NO SISTEMA SPRING

Fig.1. Ativar Banco de Dados SaoCarlos

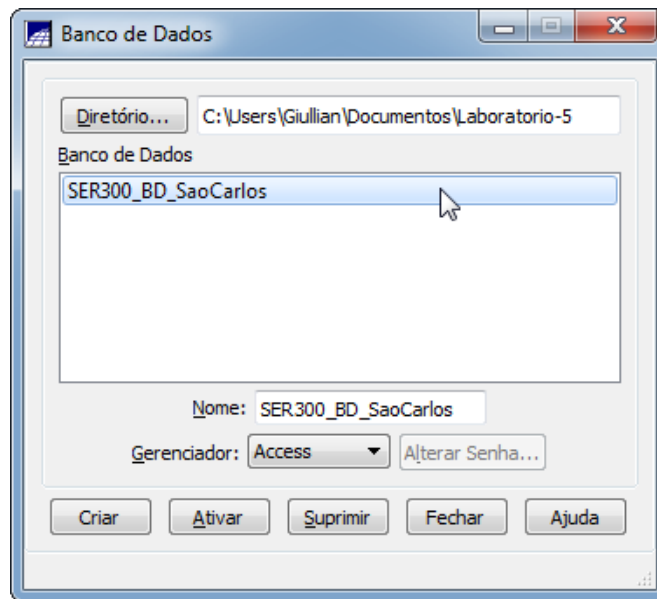


Fig.2. Ativar Projeto Canchim

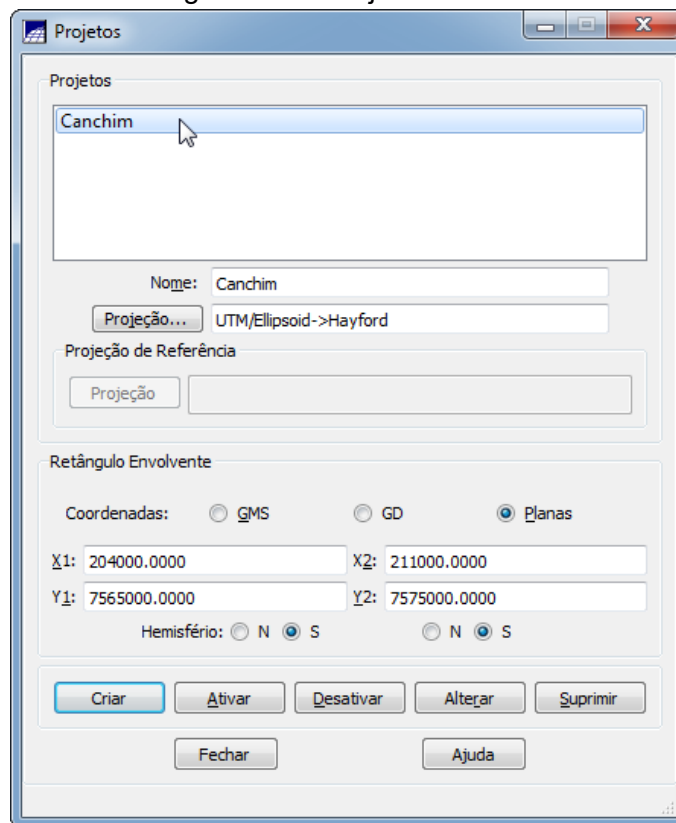
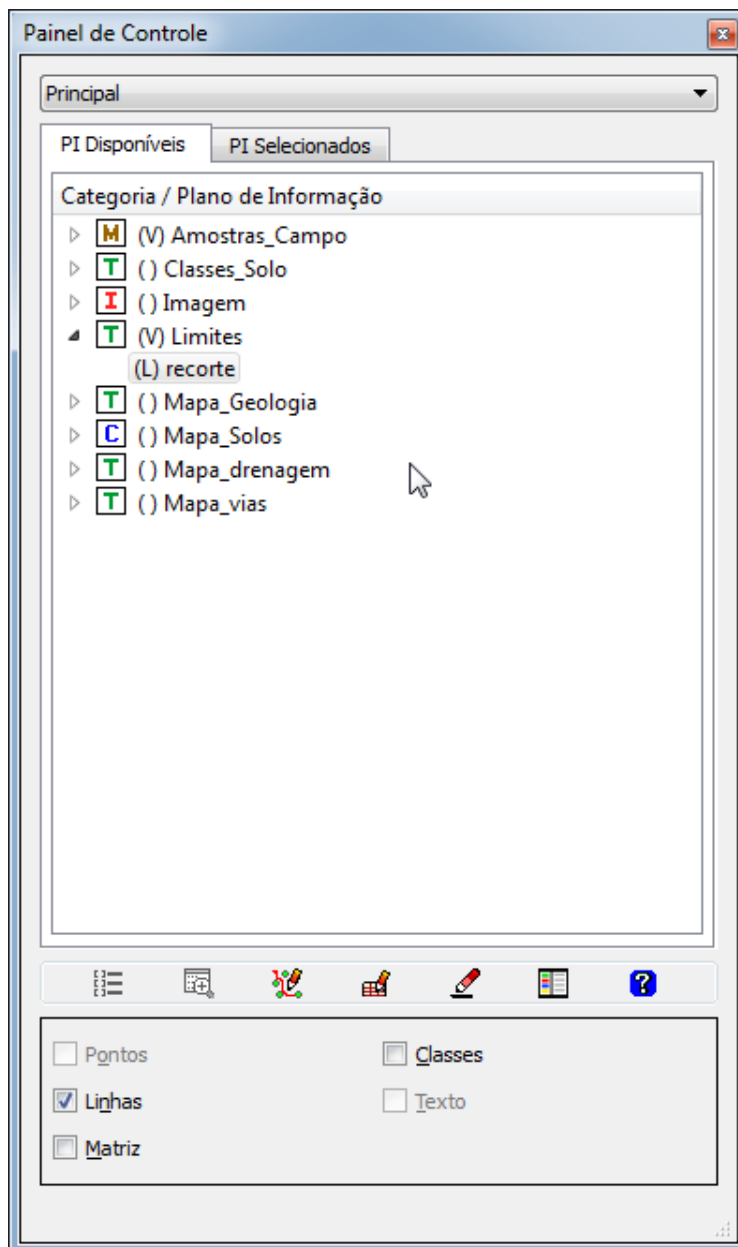


Fig.3. (a) e (b) Ativar Painel de Controle e selecionar Planos de Informação

(a)



(b)

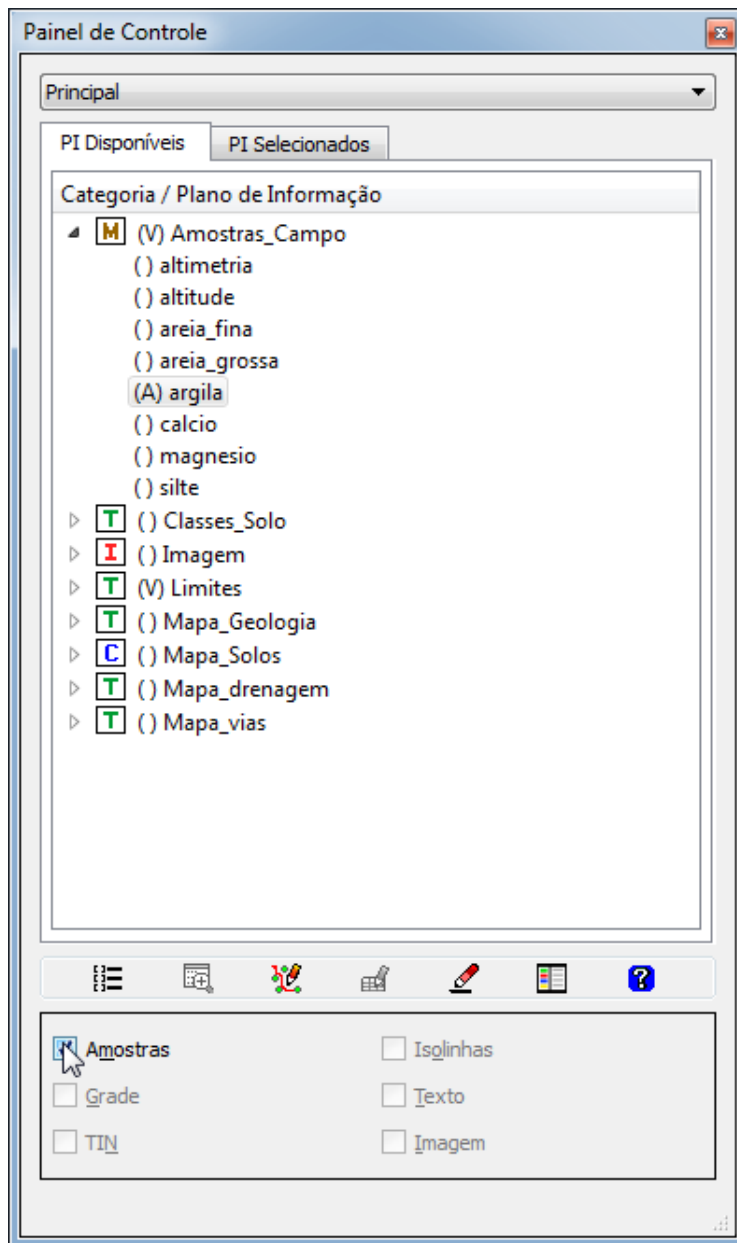
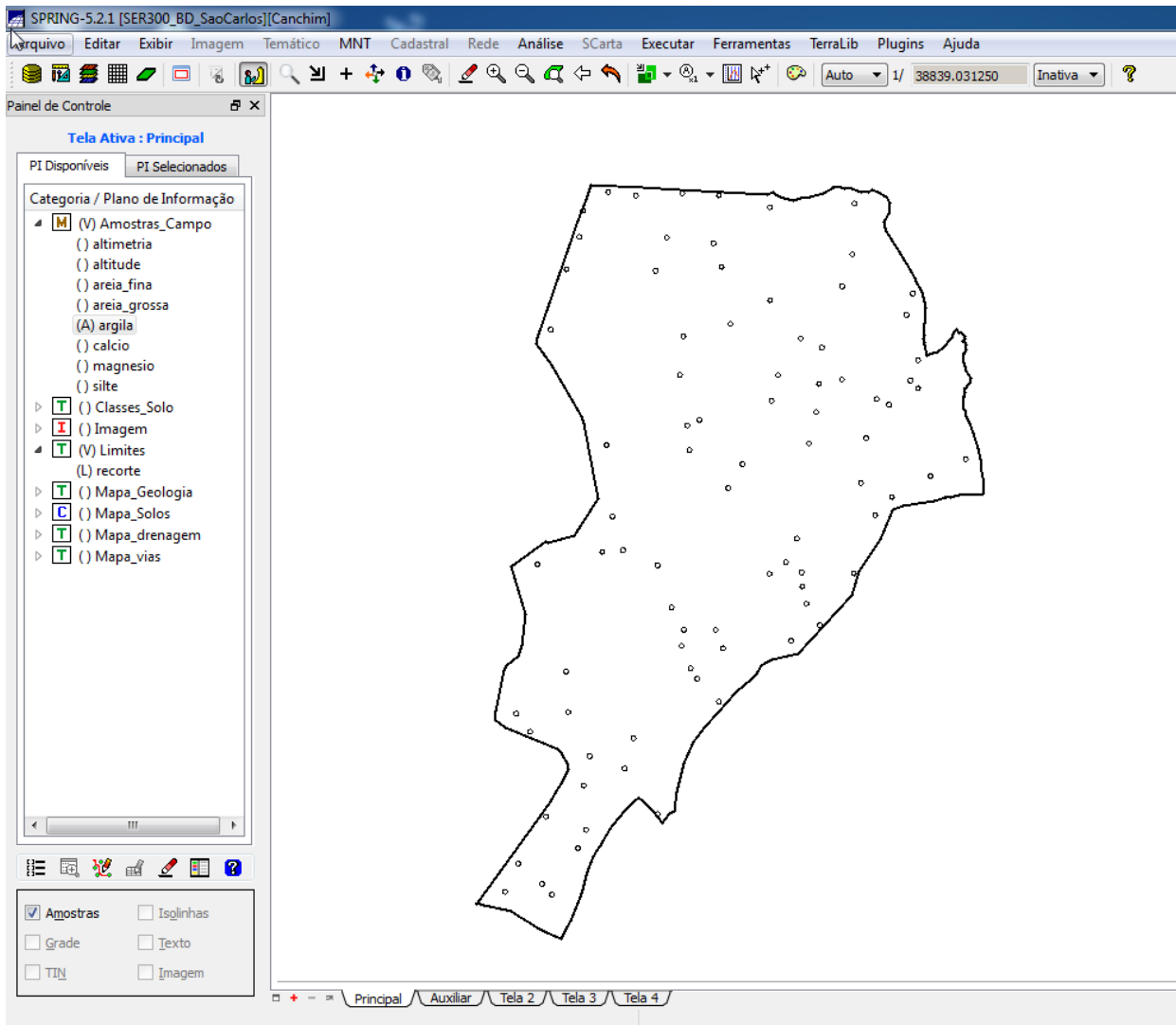


Fig.4. Visualizar PI's seleccionados



PARTE 2: ANÁLISE EXPLORATÓRIA

Fig.5. Executando estatísticas descritivas

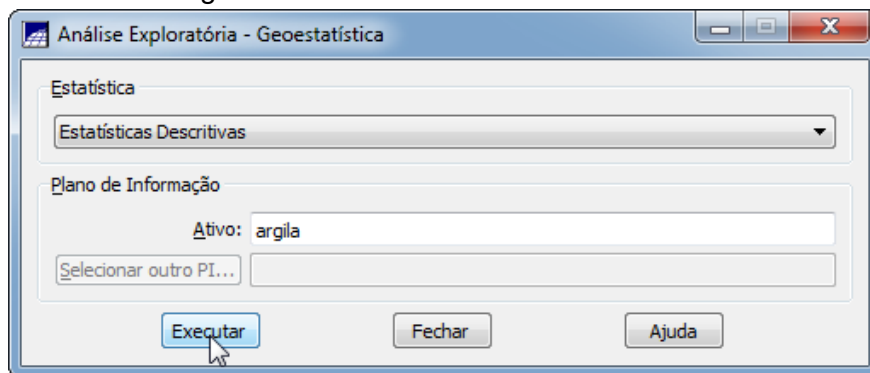


Fig.6. Relatório de dados das estatísticas descritivas

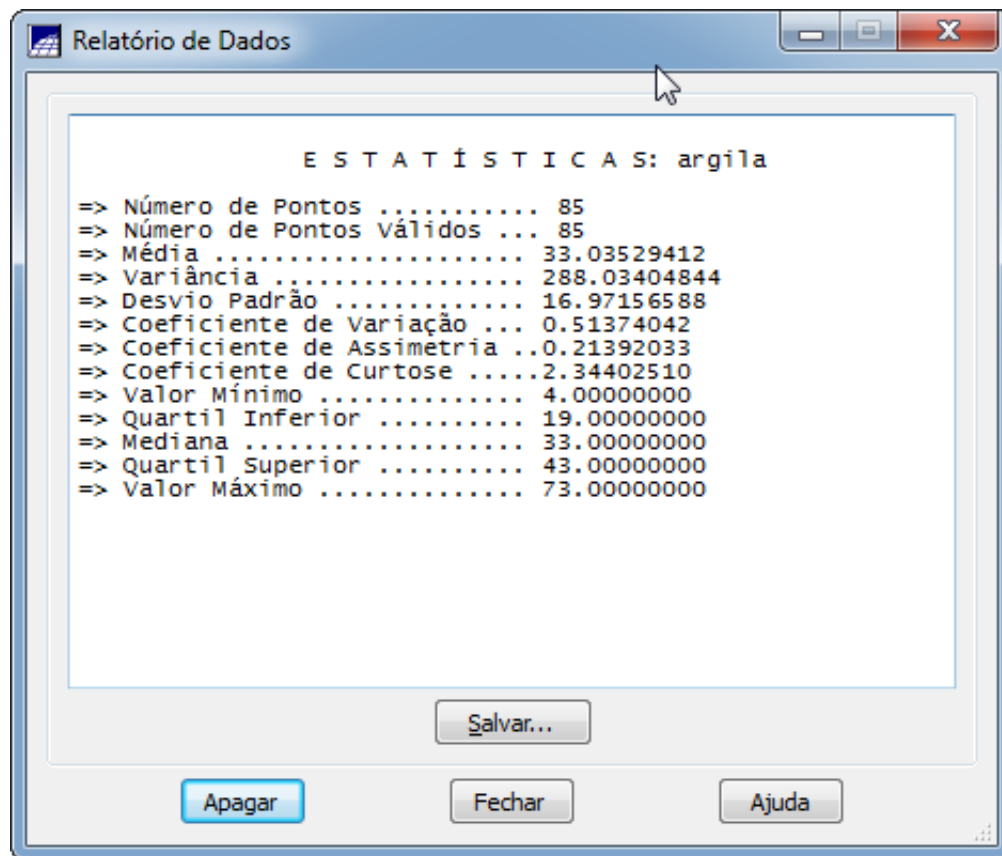


Fig.7. Geração dos Histogramas

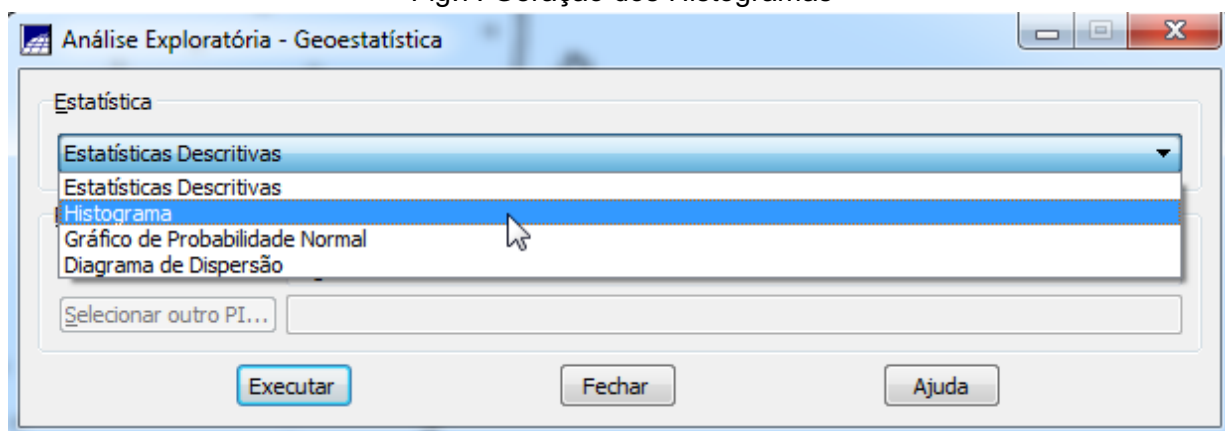


Fig.8. Histograma com 10 classes

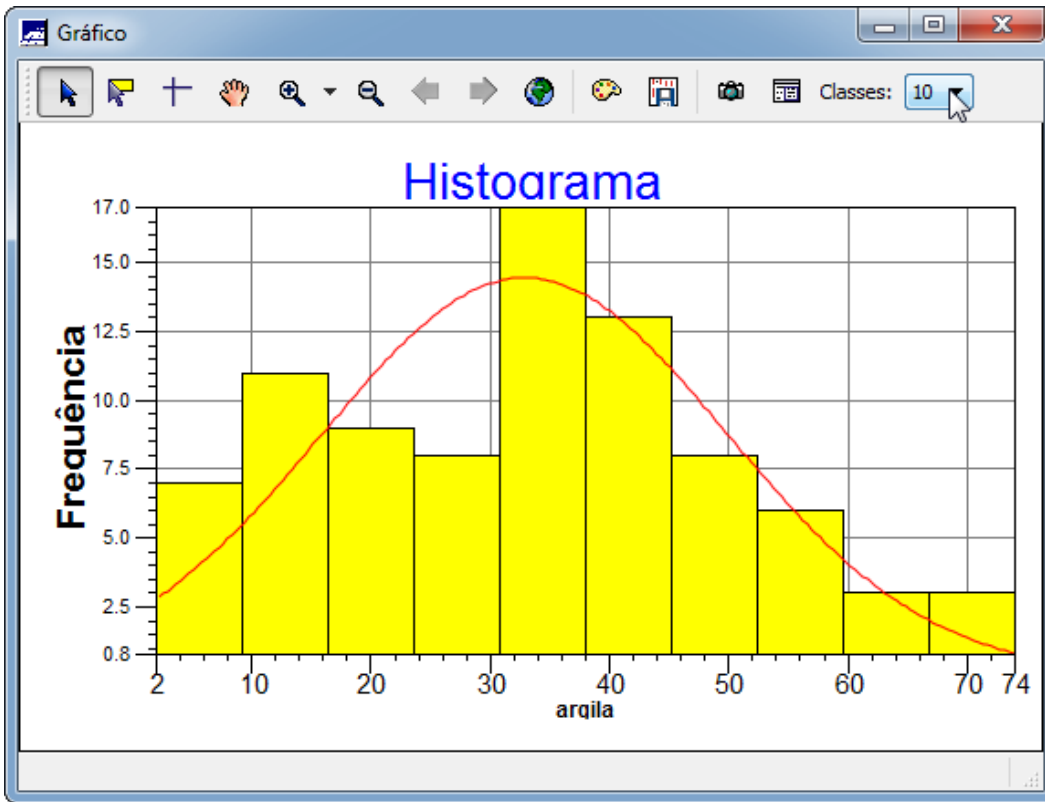


Fig.9. Histograma com 20 classes

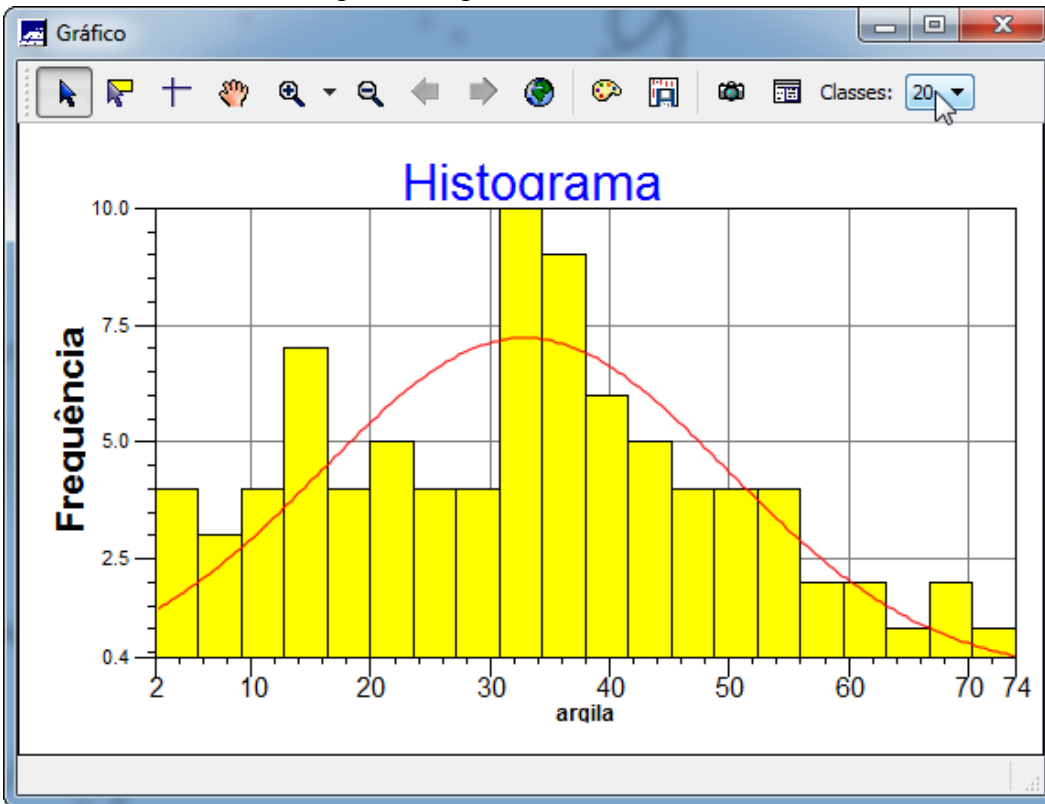


Fig.10. Executando o gráfico da probabilidade normal

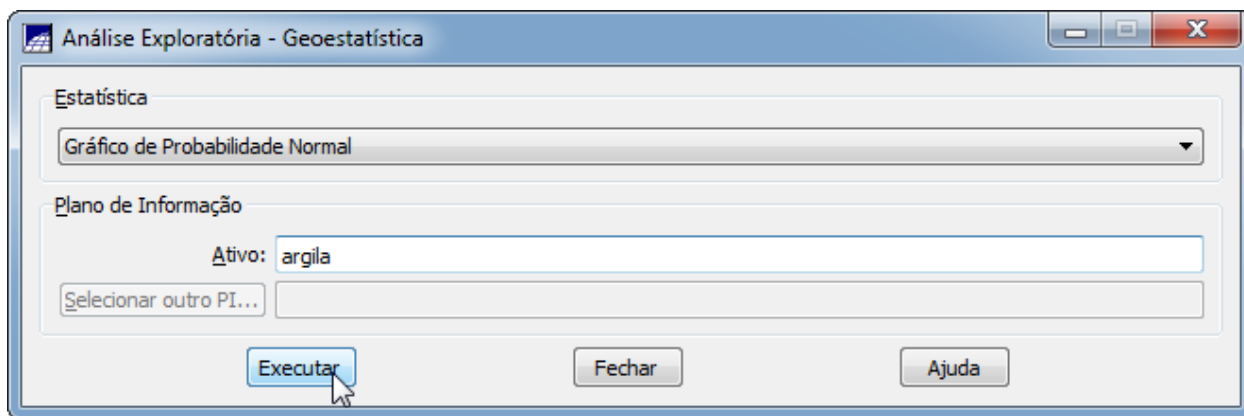


Fig.11. Gráfico da probabilidade normal

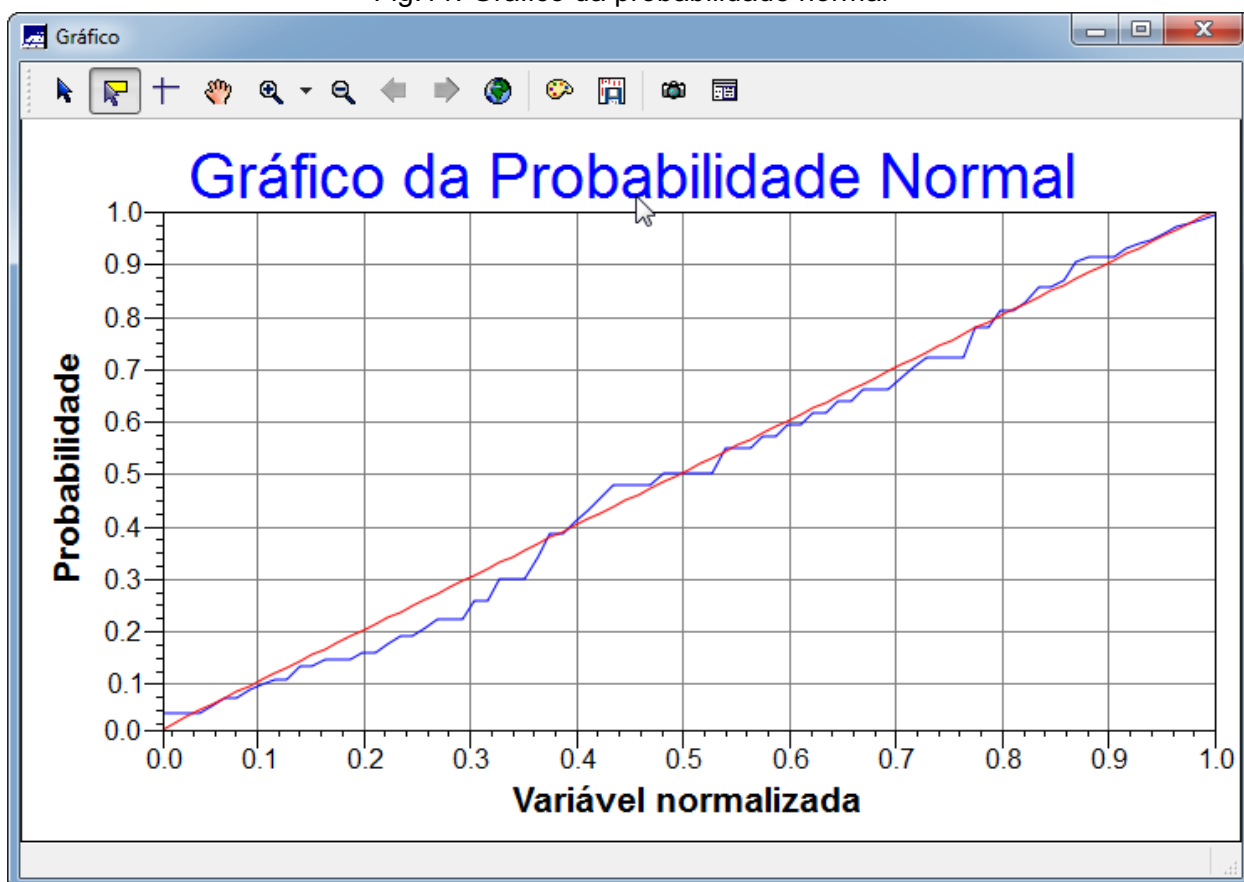


Fig.12. Geração do semivariograma

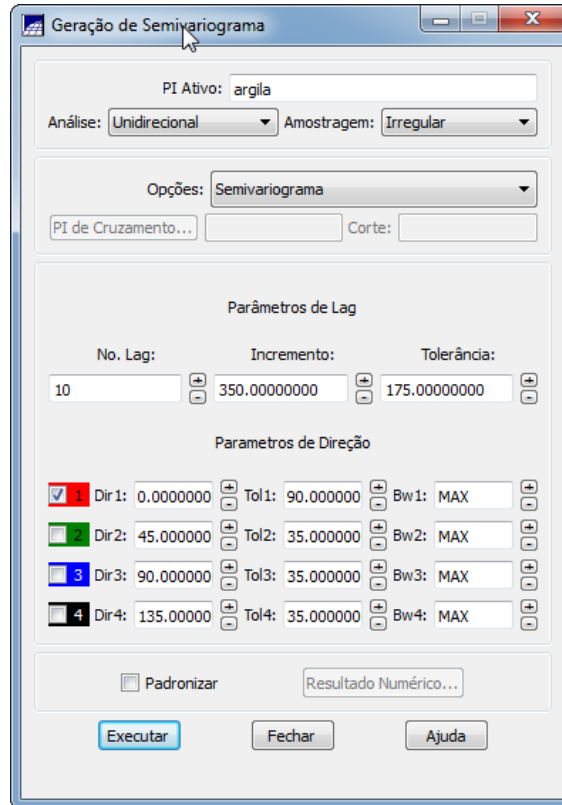


Fig.13. Geração do semivariograma

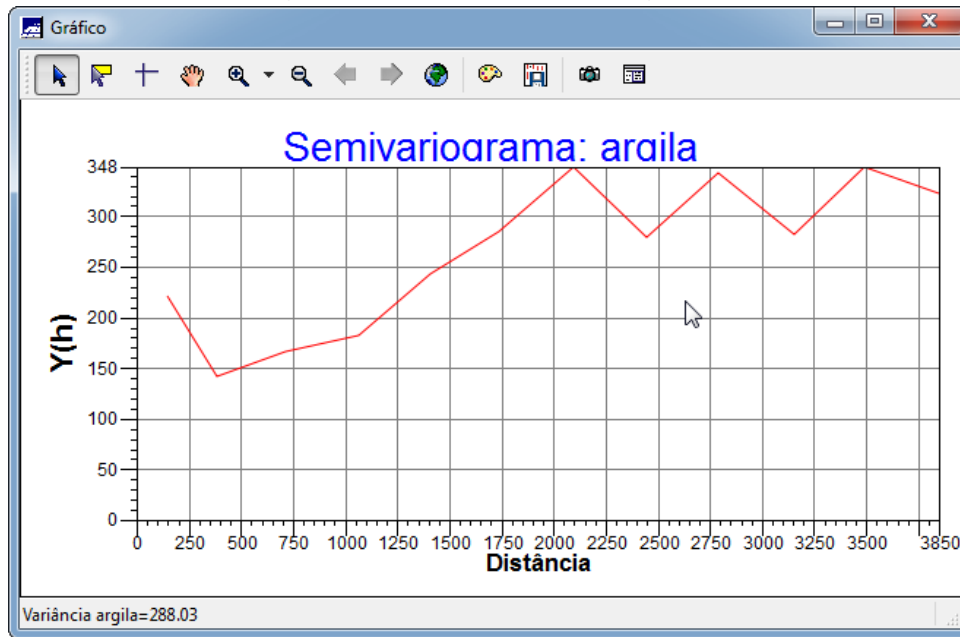


Fig.14. Semivariograma experimental (Omnidirecional) com parâmetros (No. Lag = 4, Incremento = 968, Tolerância = 484)

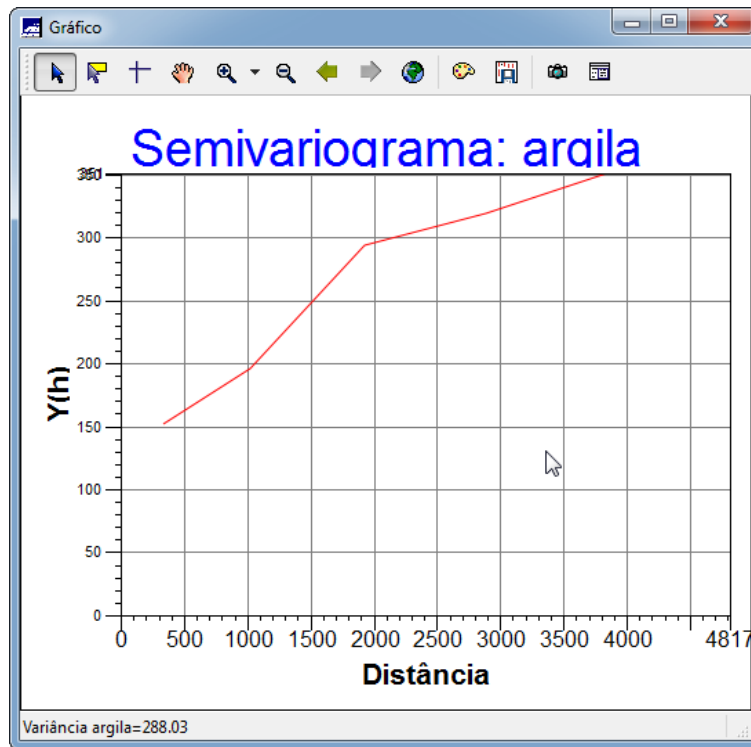


Fig.15. Semivariograma com modelo de ajuste esférico

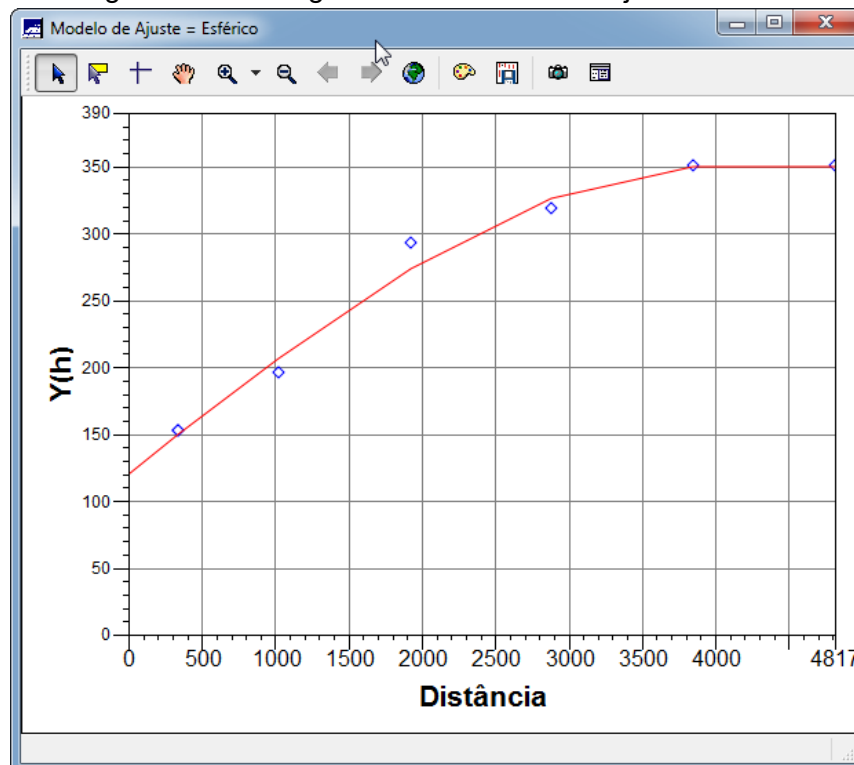


Fig.16. Definindo os parâmetros do modelo isotrópico

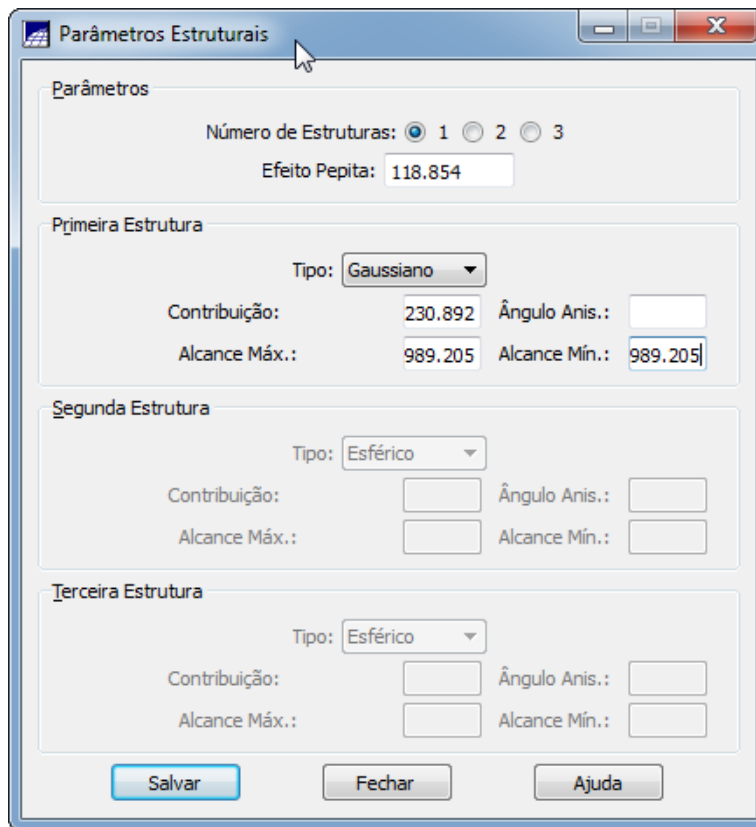


Fig.17. Validação do modelo de ajuste

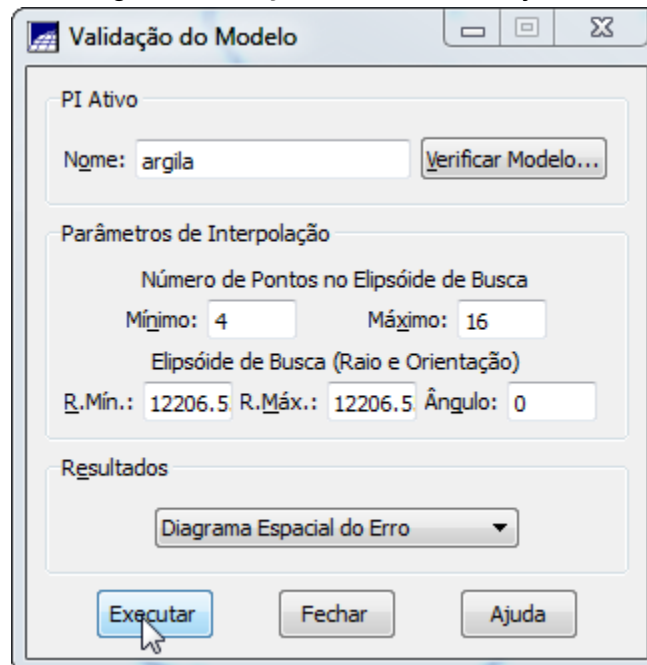


Fig.17. Diagrama espacial do erro

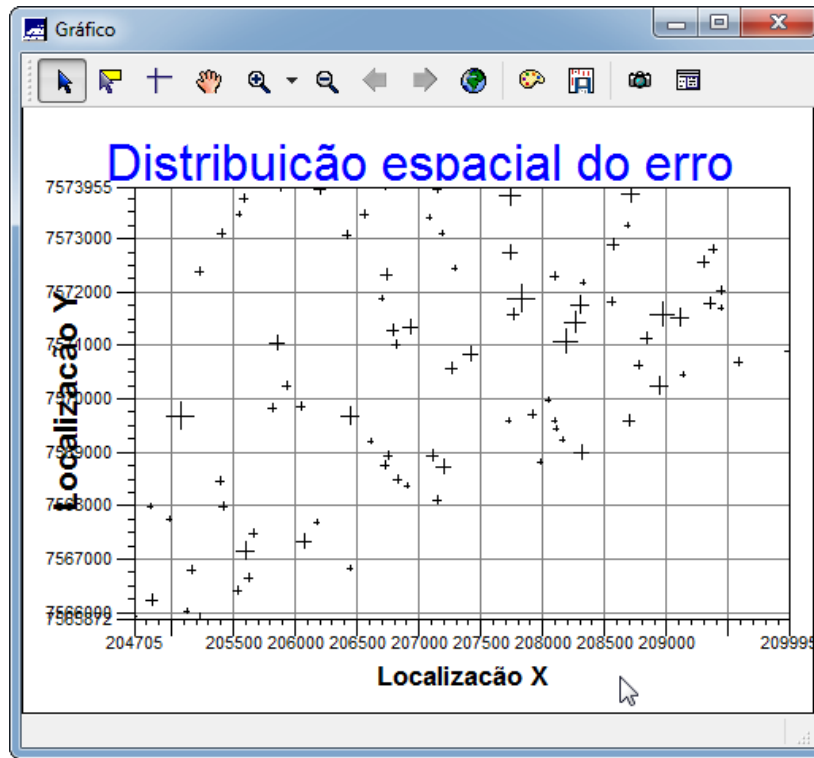


Fig.18. Histograma do erro

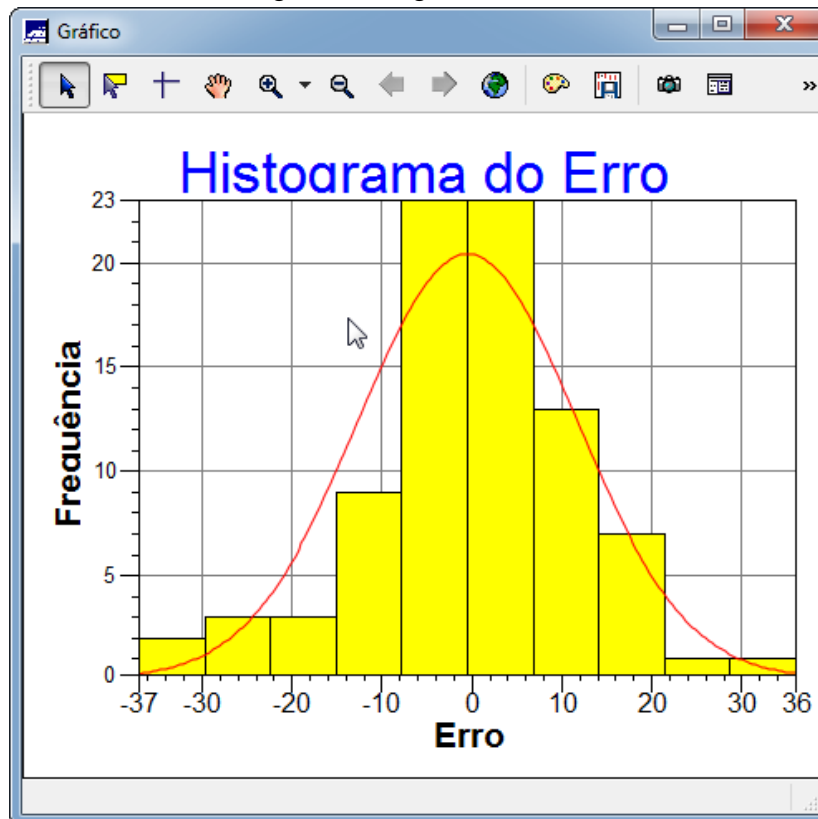


Fig.18. Estatísticas do erro



Fig.19. Diagrama de valores observados versus estimados

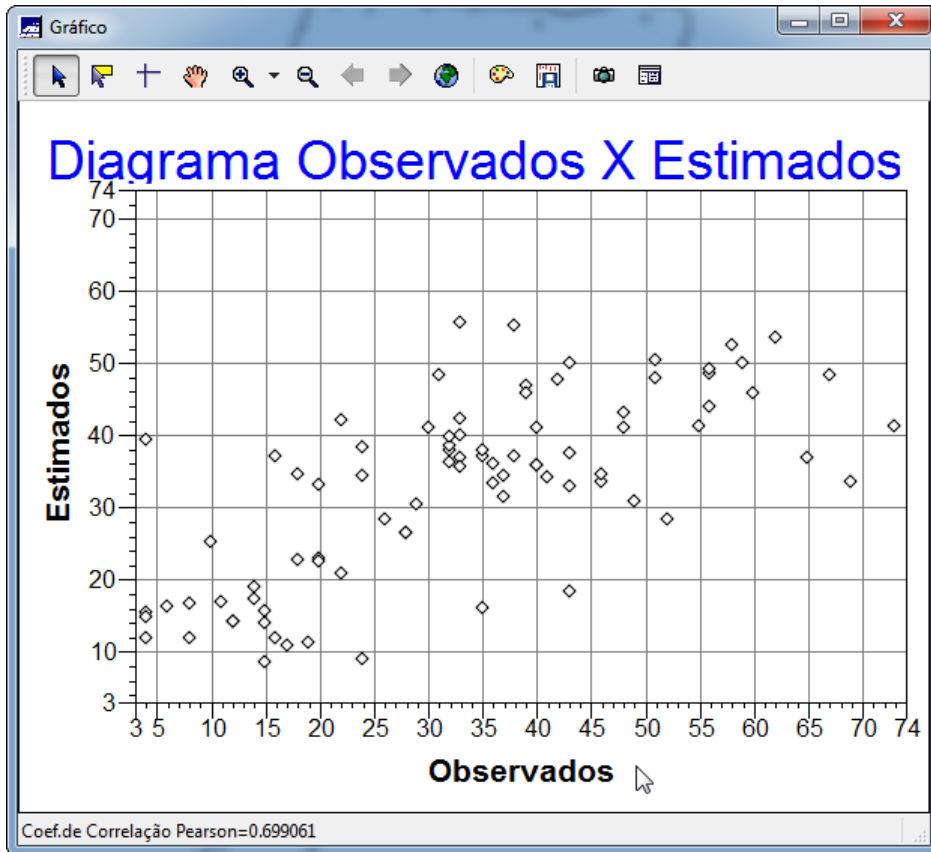


Fig.20. Processo de Interpolação por Krigeagem Ordinária

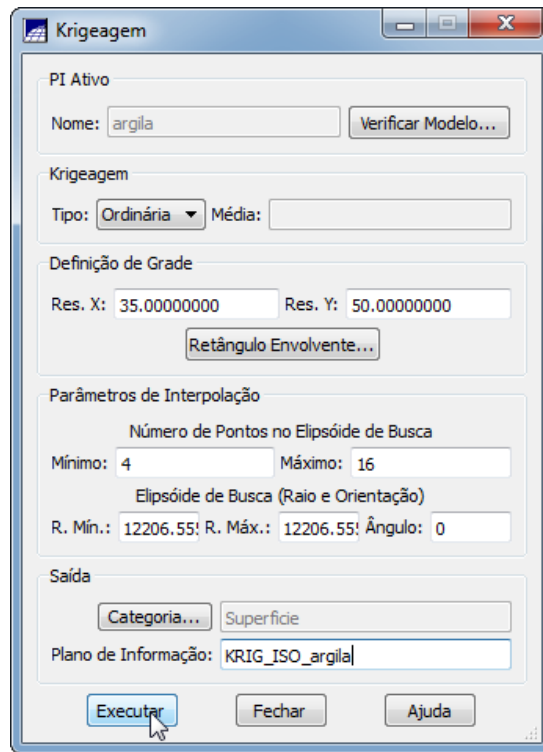


Fig.21. Visualizando a grade de krigagem gerada para a argila

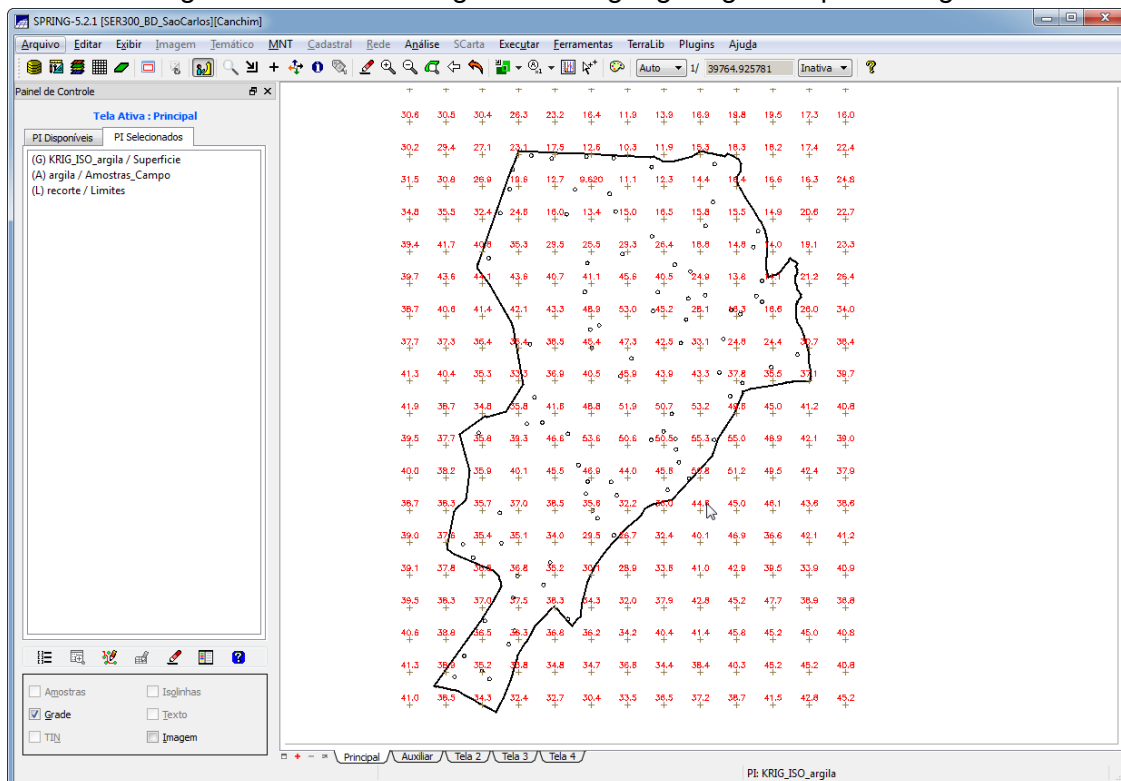


Fig.21. Visualizando a superfície de argila

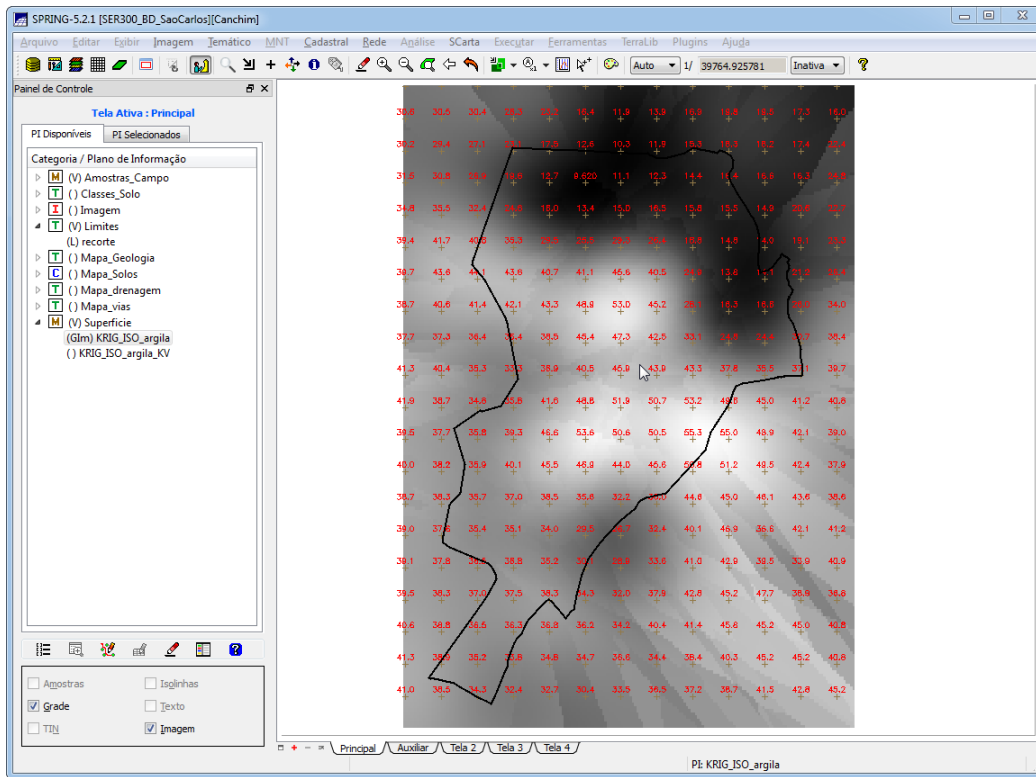


Fig.22. Recorte da imagem gerada utilizando LEGAL

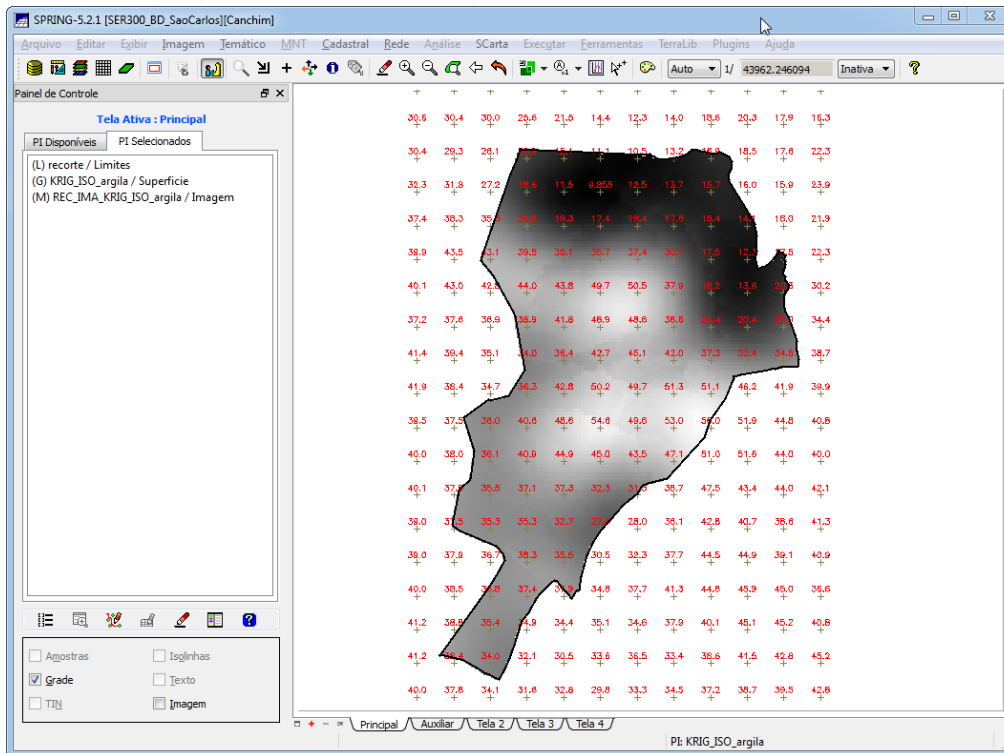
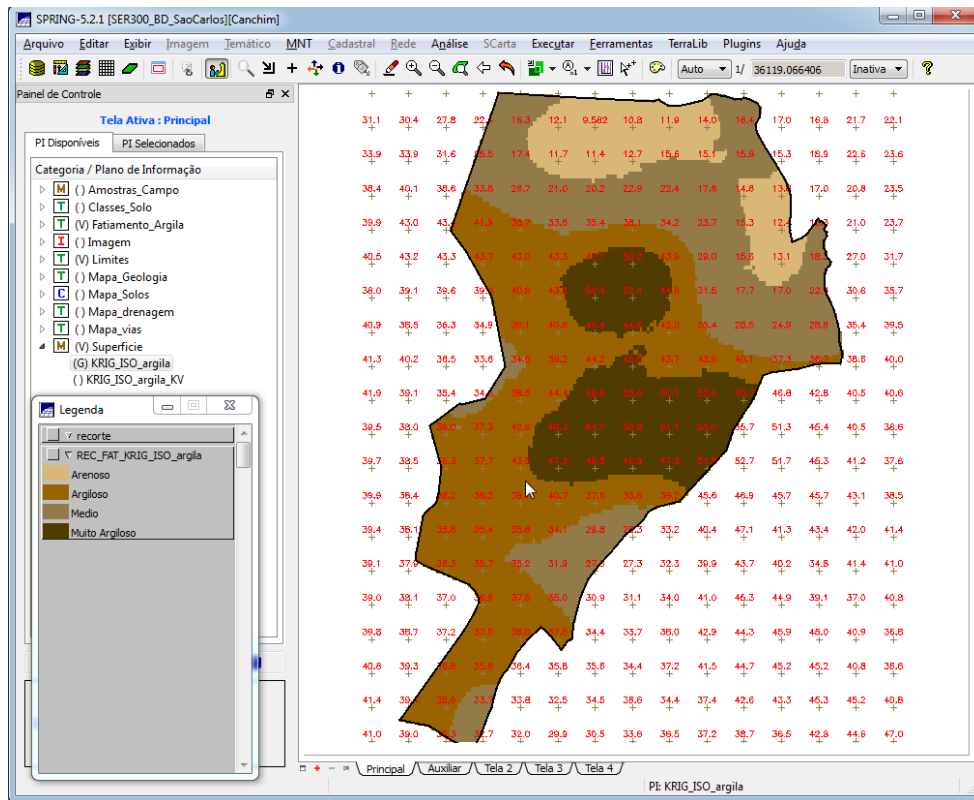


Fig.23. Fatiamento e recorte da grade do teor de argila, segundo classificação.



PARTE 4: CASO ANISOTRÓPICO

Fig.24. Detecção dos eixos de anisotropia

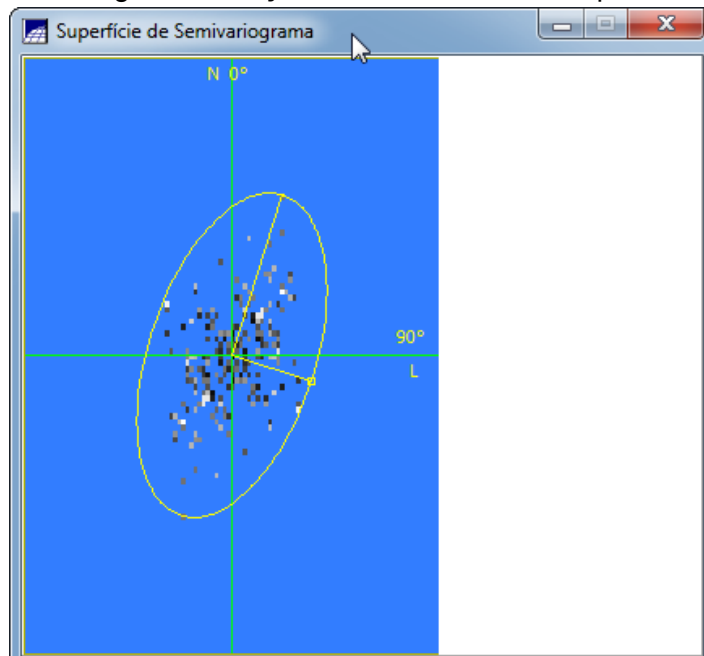


Fig.25. Geração dos Semivariogramas Direcionais

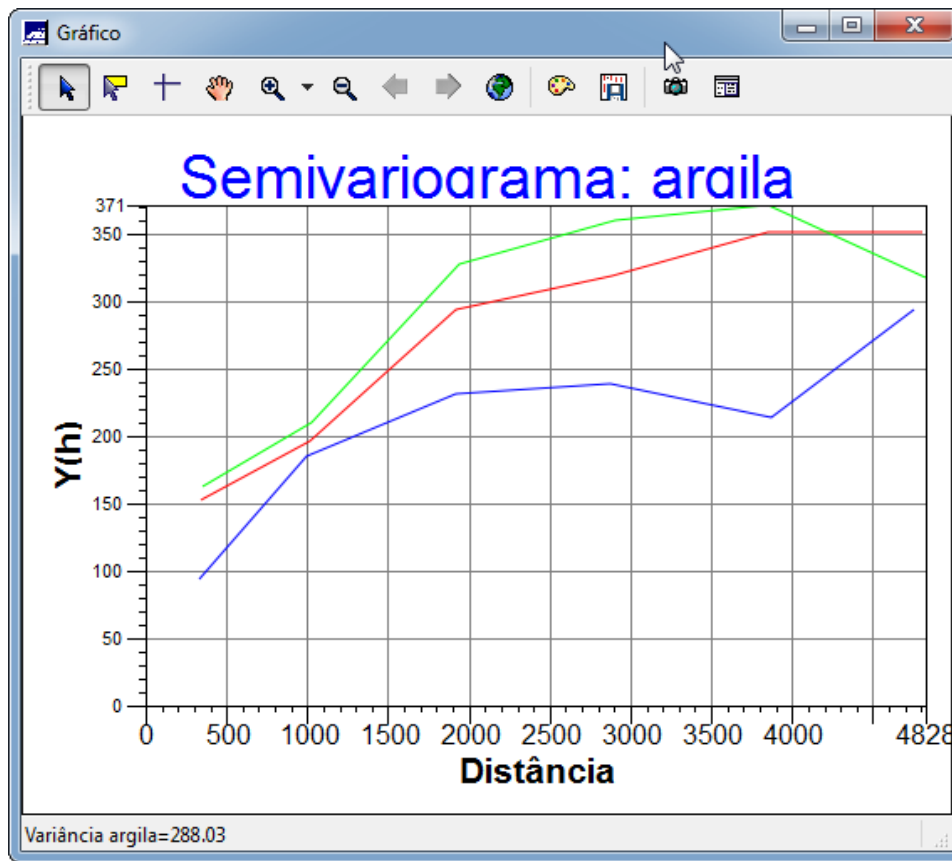


Fig.26. Semivariograma com direção de maior continuidade, 17 graus.

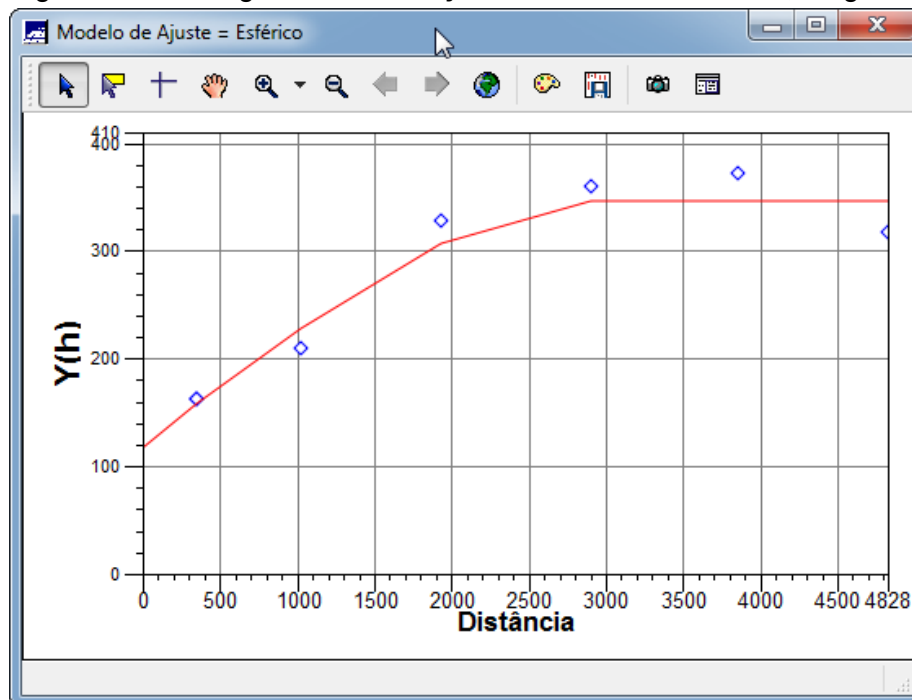


Fig.27. Modelagem da anisotropia usando os Parâmetros Estruturais.

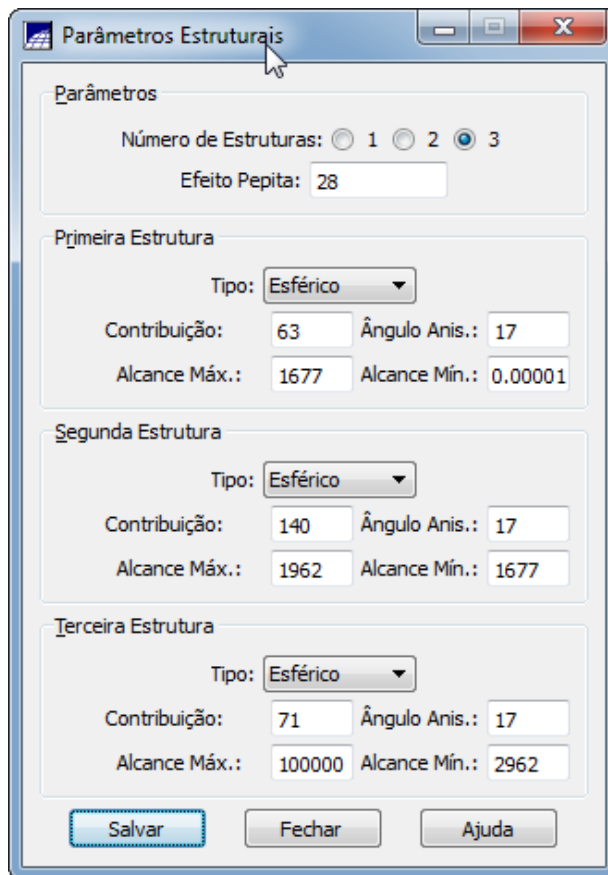


Fig.28. Validação do modelo de ajuste da anisotropia.

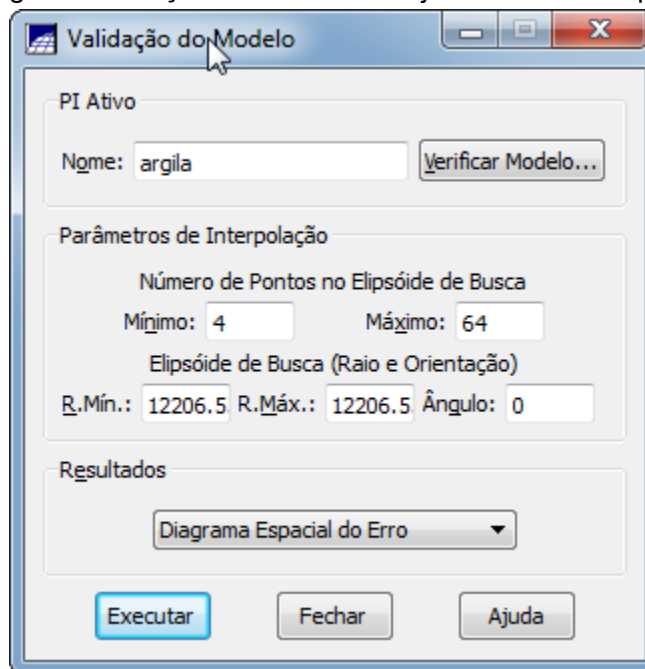


Fig.29. Distribuição espacial do erro, modelo de ajuste da anisotropia.

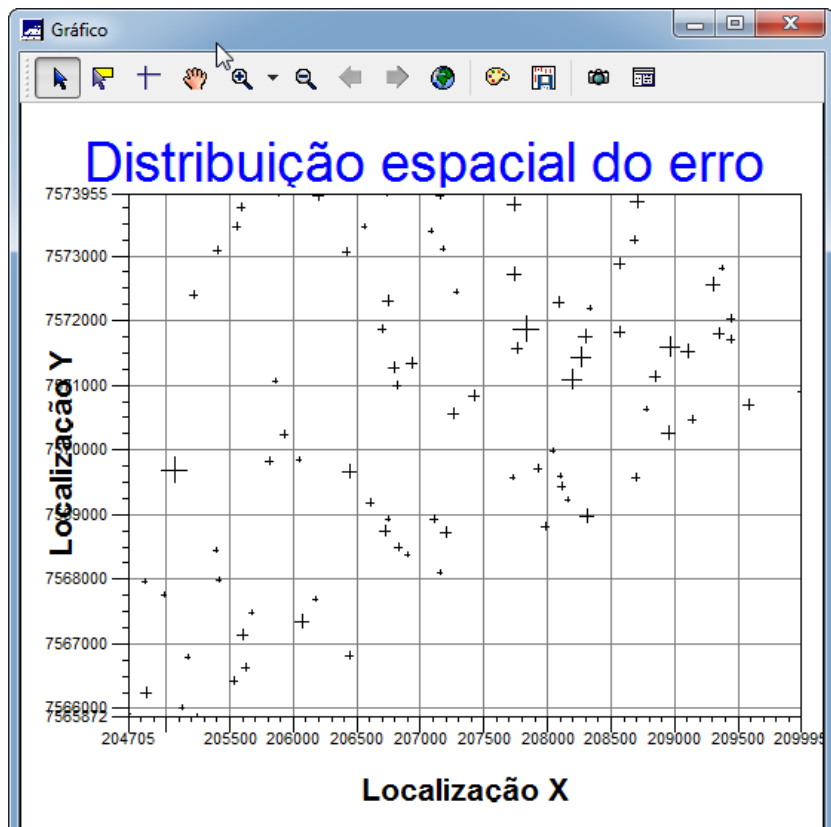


Fig.30. Histograma do erro, modelo de ajuste da anisotropia.

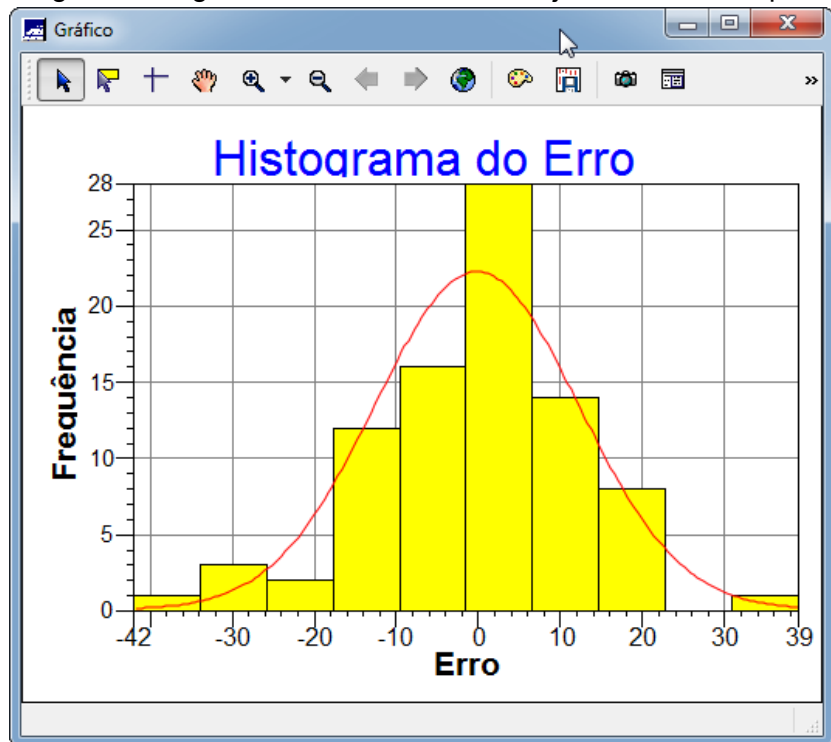


Fig.31. Diagrama de valores Observados versus Estimados, modelo de ajuste da anisotropia.

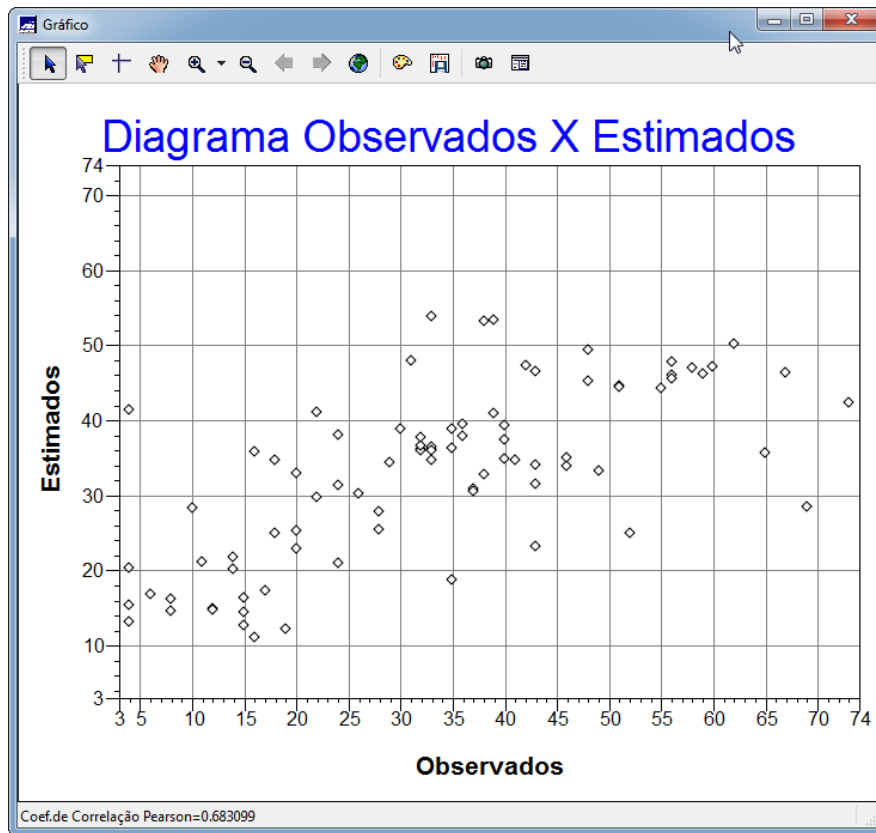


Fig.32. Processo de Interpolação por Krigeagem Ordinária, anisotropia.

Krigeagem

PI Ativo

Nome: argila Verificar Modelo...

Krigeagem

Tipo: Ordinária Média:

Definição de Grade

Res. X: 34.99999992 Res. Y: 50.00000099

Retângulo Envolvente...

Parâmetros de Interpolação

Número de Pontos no Elipsóide de Busca

Mínimo: 4 Máximo: 24

Elipsóide de Busca (Raio e Orientação)

R. Mín.: 12206.55576949 R. Máx.: 12206.55576949 Ângulo: 0

Saída

Categoria... Superfície

Plano de Informação: KRIG_ANIS_argila

Executar Fechar Ajuda

Fig.33. Visualizando a grade de krigeagem, oriunda de um modelo anisotrópico..

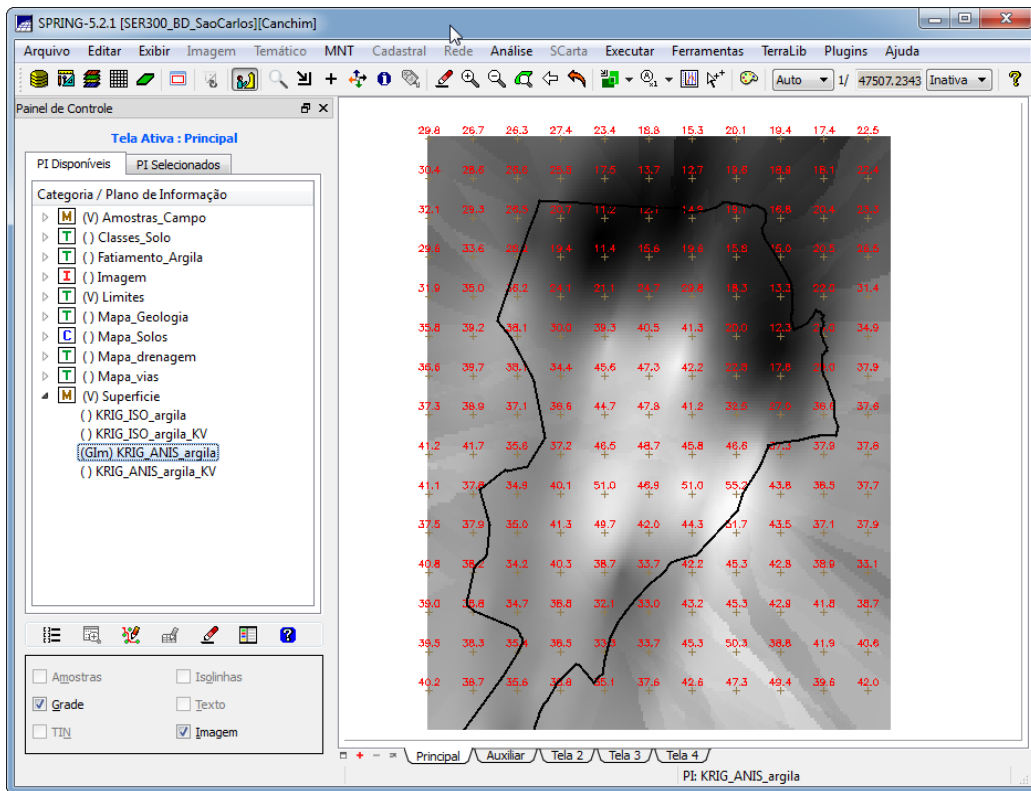


Fig.34. Recorte na imagem oriunda do modelo anisotrópico.

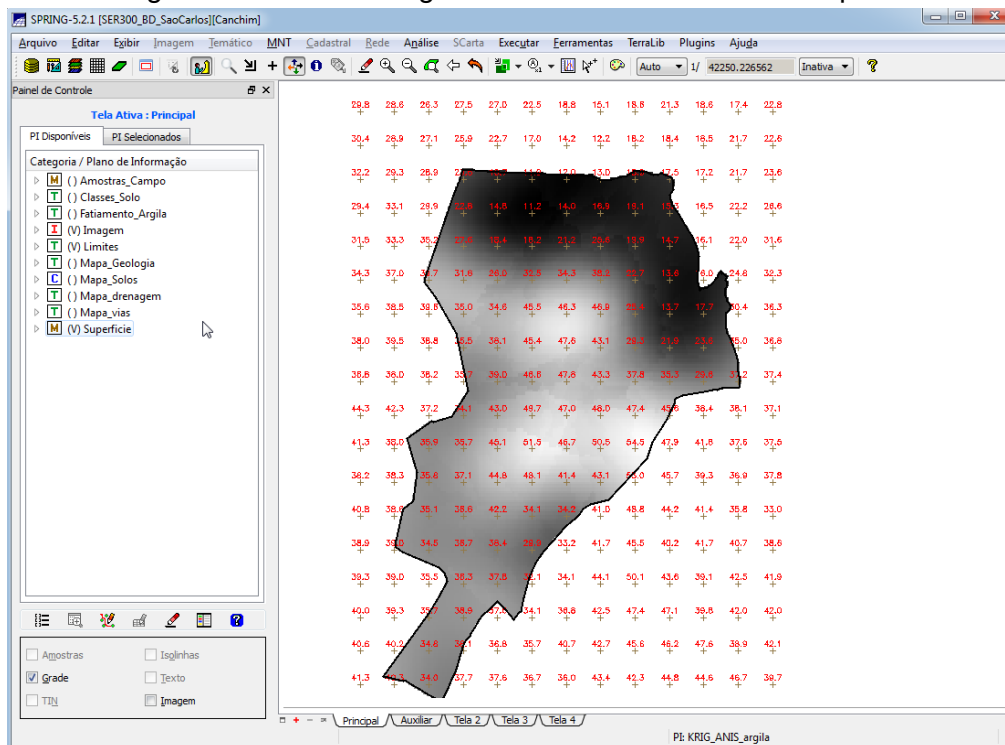


Fig.35. Fatiamento e recorte na grade de Krigeagem oriunda do modelo anisotrópico.

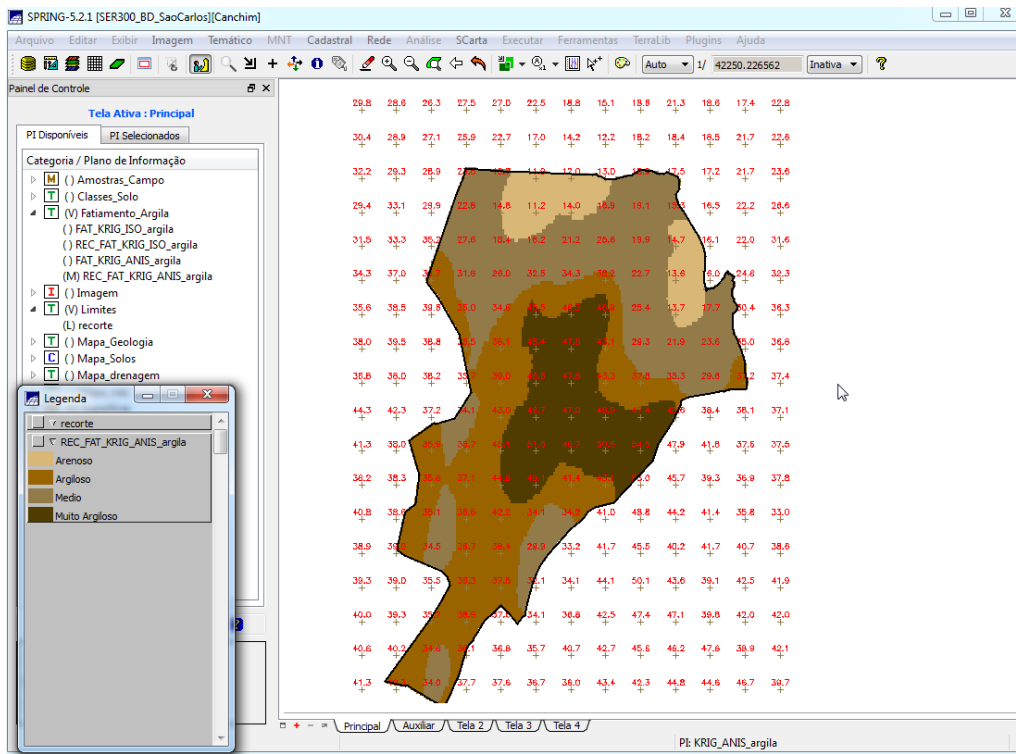


Fig.36. Geração do mapa geológico.

